

# طرح عملکردی سازه‌های جداسازی شده قاب خمشی فولادی با اهمیت متوسط در حوزه نزدیک به گسل

محسن تهرانی‌زاده (استاد)

پارهیدا برومند (دانشجوی کارشناسی ارشد)

دانشکده هندسی عمران و محیط زیست، دانشگاه صنعتی امیرکبیر

با بهره‌گیری از فن جداسازی از پایه، نیروهای ناشی از زمین‌لرزه‌ی انتقالی به روسازه را تا حد بسیار زیادی می‌توان کاهش داد (کاهش تقاضا)؛ همچنین با کاربرد هم‌زمان روش طراحی براساس عملکرد و استفاده از ظرفیت خمیری سازه و به دنبال آن کاهش نیاز به ظرفیت کشسان<sup>۱</sup> مقلع، به مقاطعی به مرتب سبک‌تر و ظرفیت‌تر می‌توان دست یافت. در این پژوهش، با بررسی رفتار غیرخطی روسازه در دو سازه‌ی جداسازی شده‌ی فولادی ۵ و ۸ طبقه با قاب خمشی ویژه‌ی سه‌بعدی، و طراحی شده به روش مقاومت نهایی (براساس ضوابط طرح سازه‌های جداسازی شده در آیینه‌های ۷ و ASCE<sup>۰</sup> - ۵۰ - AISC<sup>۳۶۰</sup>)، در برابر زمین‌لرزه‌های حوزه‌ی نزدیک با دوره‌ی بازگشت ۴۷۵ و ۴۷۵ سال، تغییرات مورد نیاز در اعضا و مقاطع ساختمان برای کاهش سطح عملکرد سازه‌های یادشده از خدمت رسان در سطح خطریک (۴۷۵ سال)، و استفاده‌ی بی‌وقفه در سطح خطر دو (۲۴۷۵ سال)، به استفاده‌ی بی‌وقفه در سطح خطریک و اینمی‌جانی در سطح خطر دو، بر پایه‌ی معیارهای موجود در دستورالعمل FEMA<sup>۳۵۶</sup> ارائه می‌شود.

وازگان کلیدی: جداسازی از پایه، طراحی بر اساس عملکرد، حوزه‌ی نزدیک به گسل، روسازه‌ی غیرخطی.

## ۱. مقدمه

بهره‌گیری از فن جداسازی از پایه، در ابتدا برای دست‌یابی به سطح عملکرد استفاده‌ی بی‌وقفه در برابر زمین‌لرزه‌های شدید در سازه‌های با اهمیت بالا - نظریه بیمارستان‌ها، مراکز آشناشانی، مراکز مخابراتی یا بنای‌های تاریخی - در مهندسی سازه و زلزله جای خود را باز کرد و بر پایه‌ی عملکرد موفقیت‌آمیز این عناصر به‌ویژه در زمین‌لرزه‌های شدید نورتربیج (۱۹۹۵) و کب (۱۹۹۵) گسترش یافت.

عملکرد مناسب این فناوری نوین به‌گونه‌ای است که با کاهش نیروهای انتقال یافته از ستر به پیکری روسازه، امکان بهره‌گیری از مقاطع سبک‌تر نسبت به سازه‌های پایه ثابت مشابه فراهم می‌شود و در نهایت به ساخت سازه‌ی ارزان‌تر می‌انجامد. به همین لحاظ امروزه اقبال عمومی به استفاده از این روش در طرح و ساخت سازه‌ها فزونی یافته است. از آنجا که در ساخت سازه‌های با اهمیت متوسط نظریه مراکز تجاری - اداری یا منازل مسکونی، طراح نیازی به حفظ سطح عملکرد روسازه در حدود استفاده‌ی بی‌وقفه در برابر هر سطح از خطر لرزه‌خیزی ندارد، در این پژوهش برآئیم تا با بهره‌گیری از مفاهیم و معیارهای طراحی براساس عملکرد، سطح عملکرد سازه‌های مورد بررسی را تا حد اینمی‌جانی در سطح خطر دو، مناسب با تعاریف دستورالعمل FEMA<sup>۳۵۶</sup> کاهش دهیم.<sup>[۱]</sup> از این رو، دو سازه‌ی ۵ و ۸ طبقه با اسکلت قاب خمشی ویژه و با استفاده از جداسازه‌های لاستیکی با هسته‌ی سربی

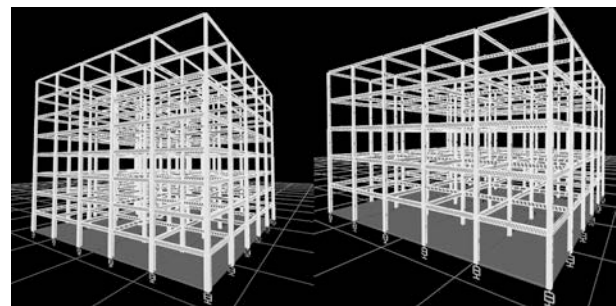
## ۲. مشخصات هندسی روسازه و روش تحلیل

روسازه‌های بهکار رفته در هر دو مدل ۵ و ۸ طبقه، در پلان متقاضی و دارای ۵ دهانه‌ی ۵ متری در هر جهت است. دال سقف‌ها صلب فرض شده و ارتفاع میان تا میان طبقات معادل ۳ متر است. همچنین از یک دال صلب برای یک پارچه‌سازی حرکت

تاریخ: دریافت ۱۴، ۱۳۸۷/۱۰/۱، اصلاحیه ۳، ۱۳۸۸/۱۲/۲۲، پذیرش ۱۳۸۸/۱۲/۲۲.

در این جدول،  $T$  نماینده زمان تناوب جداساز،  $K_{eff}$  نماینده سختی مؤثر جداساز در جابه‌جایی طرح،  $K_1$  نماینده سختی اولیه جداساز،  $D$  نماینده جابه‌جایی جداساز،  $\beta$  ضریب میرابی لرز معادل،  $F_y$  نیروی تسلیم جداساز، و  $K_2/K_1$  نسبت سختی پس از تسلیم به پیش از تسلیم جداساز در منحنی دوخطی نیرو - تغییر شکل است. اندیس‌های  $D$  و  $M$  به ترتیب نشان‌دهنده کیفیت معرفی شده در جابه‌جایی طرح است. خاطر نشان می‌شود براساس ضوابط موجود در آینه نامه‌ها و دستورالعمل‌های یادشده، میران بیشینه جابه‌جایی جداساز در زمین لرزه‌ی طرح متناسب با تغییر مکان نوسان‌گری یک درجه آزادی از رابطه‌ی ۱ و با درنظر گرفتن مقادیر شتاب طیفی متناسب با داده‌های لرزه‌خیزی ایران برای خاک نوع دو (خاک سخت و سنگ نرم)،  $S_{D,1} = ۰,۵۵$  و  $S_{M,1} = ۰,۸۲۵$  در مقیاس شتاب زمین  $g$  برآورد می‌شود.

$$D_D = \frac{g S_{D,1} T_D}{4\pi^2 B_D}, \quad D_M = \frac{g S_{M,1} T_M}{4\pi^2 B_M} \quad (1)$$



شکل ۱. سازه‌های ۵ طبقه (راست) و ۸ طبقه (چپ) در نرم افزار SAP ۲۰۰۰.

جداسازها در مدل نرم افزاری استفاده شده است. بار مرده طبقات سرپوشیده  $700 \text{ kg/m}^3$  و بار زنده آن  $400 \text{ kg/m}^3$  است و برای بارگذاری بام از بار مرده  $600 \text{ kg/m}^3$  و سر بار زنده  $150 \text{ kg/m}^3$  استفاده شده است. مقاطع به کار رفته در روسازه از نوع پروفیل نوردشده IPE برای اعضای تی‌یو و قوطی برای اعضای ستون است.

از آنجا که عملکرد روسازه‌های مورد نظر در برابر زمین لرزه‌های حوزه‌ی نزدیک مبنای ارائه‌ی طرح نهایی است، ابتدا با استفاده از ضوابط طرح سازه‌های جداسازی شده در دو آینه نامه  $ASCE 7-5$  و  $AISC 360$ ، طرح اولیه روسازه با به کارگیری نرم افزار SAP ۲۰۰۰ v۱۱.۰ ایجاد می‌شود. سپس این طرح براساس معیارهای پذیرش ارائه شده در دستورالعمل FEMA ۳۵۶ برای طراحی سازه‌ها به روش عملکردی، تحت تحلیل ایستای بارافزون قرار گرفته و مقاطع تا برآورد سطح عملکرد مورد نیاز اصلاح می‌شود. رفتار سازه‌های اصلاح شده در فرایند تحلیل ایستای غیرخطی در برابر ۳ نگاشت حوزه‌ی نزدیک با دوره بازگشت ۲۴۷۵ سال (متناسب با سطح خطر دو) مورد ارزیابی پویای غیرخطی قرار گرفته و در صورت برآورده نشدن معیارهای پذیرش در اعضای سازه‌ی، طرح اصلاح می‌شود. با به دست آمدن طرح نهایی برای هر دو نمونه با سطح عملکرد استفاده‌ی بی‌وقفه و سطح عملکرد اینمی جانی، عملکرد سازه با مقاطع کاهش یافته (متناظر با سطح عملکرد اینمی جانی) تحت ۳ نگاشت حوزه‌ی نزدیک با دوره بازگشت ۴۷۵ سال نیز بررسی می‌شود. در نهایت مقدار کاهش در فولاد مصرفی در دو طرح ارائه شده برای دو سطح عملکرد متفاوت مقایسه می‌شود. نمایی از مدل داده ساختمان‌های ۵ و ۸ طبقه در نرم افزار SAP ۲۰۰۰ v۱۱.۰ در شکل ۱ نشان داده شده است.

### ۳. مشخصات سیستم جداساز

جداسازهای مورد استفاده در این پژوهش، جداگرها لاستیکی با هسته‌ی سربی ۲ است که یکی از پرکاربردترین نوع جداساز است و مشخصات آن برای هر دو سازه ۵ و ۸ طبقه در جدول ۱ ارائه شده است. روابط مورد استفاده در طرح جداسازها نیز ذکر شده است.<sup>[۲]</sup>

جدول ۱. مشخصات جداسازهای مورد استفاده.

$K_2/K_1$	$F_y$	$K_1$	$K_{eff}$	$D_M$	$D_D$	$\beta_M$	$\beta_D$	$T_M$	$T_D$	سازه
(%)	(kN)	(kN/m)	(cm)	(cm)	(%)	(%)	(s)			
۱۰	۴۳,۹۳	۲۶۴۴,۶۴	۴۴۹,۶۱	۳۹	۲۱	۱۷	۲۵	۲,۸	۲,۵	طبقه ۵
۱۰	۶۶,۴۳	۳۹۹۹,۲۸	۶۷۹,۹۱	۳۹	۲۱	۱۷	۲۵	۲,۸	۲,۵	طبقه ۸

جدول ۲. مشخصات نگاشت‌های تاریخچه‌ی زمانی.

سطح خطر	PGD	PGD	PGD	PGV	PGV	PGV	PGA	PGA	PGA <sup>۰۰</sup>	فاصله	ایستگاه	زلزله
	(cm)			(cm/s)			(g)			(km)		
۱	۸,۶۲	۱۰,۶۶	۱۵,۰۸	۱۷,۷۱	۲۳,۱۳	۴۰,۴۴	۰,۵۵	۰,۳۱	۰,۳۴	۹,۲	Arleta Fire Station	Northridge ۱۹۹۴
۱	۸,۶۹	۱۵,۰۹	۲۱,۲۵	۱۹,۴۶	۵۰	۶۳	۰,۴۲	۰,۳۵	۰,۵۱	۲,۶	LA Dam	Northridge ۱۹۹۴
۱	۱۹,۸	۶۳	۲۵,۴	۳۸,۴۳	۹۰,۵۳	۴۶,۸۷	۰,۵۴	۰,۳۸	۰,۵۲	۱	EL centro Array	Imperial Valley ۱۹۷۹
۲	۱۶,۴	۹۵	۳۸,۷	۴۴,۴۱	۱۲۱,۲۲	۹۷,۷۶	۰,۶۹	۰,۸۵	۰,۸۳۵	۳	Tabas	Tabas ۱۹۷۸
۲	۴,۴۷	۳۳,۷	۳۵,۷	۱۶	۱۲۰,۷	۱۲۷,۲	۰,۲۷	۰,۶۱	۰,۶۱	۰,۳	Takatory	Kobe ۱۹۹۵
۲	۲۵,۷	۴۵,۲	۵۴,۳	۳۴,۶	۱۰۲,۲	۱۱۷,۴	۰,۵۹	۰,۹	۰,۶۱	۶,۲	Sylmar Converter station	Northridge ۱۹۹۴

جدول ۳. مقادیر تغییر مکان هدف روسازه.

سطح عملکرد				سازه	
LS		IO			
D' <sub>M</sub>	D' <sub>D</sub>	D' <sub>M</sub>	D' <sub>D</sub>		
(cm)		(cm)			
۳۰	۱۷	۴۰	۲۰	طبقه ۵	
۲۸	۱۶	۳۹	۲۰	طبقه ۸	

حوزه‌ی نزدیک، همچون فرایند جهت‌پذیری و فاصله از گسل لرزه را بوده است.<sup>[۶۵]</sup> مشخصات نگاشت‌های یادشده و سطح خطر متناظر با هر یک در جدول ۲ ارائه شده است. از آنجا که در هر سطح از خطر تعداد نگاشت‌های مورد استفاده کمتر از ۷ عدد است، مبنای طرح براساس بیشینه تقاضای ایجادشده در سازه پایه‌گذاری شده است.

## ۵. فرایند طراحی روسازه

طرح روسازه در سازه‌های جداسازی شده، عموماً تحت تأثیر ویژگی‌های جداساز قرار دارد. در طراحی اولیه‌ی روسازه به روش ایستا، باید برش پایه‌ی حاصل بیشتر باشد از ۱. برش پایه‌ی نظری یک ساختمان مشابه پایه ثابت، با زمان تناوب طرح جداساز (T<sub>D</sub>). ۲. برابر نیروی لازم برای فعال سازی کامل سیستم جداساز که برابر است با ۱/۵ برابر نیروی تسیلیم در سیستم‌های نرم‌شونده همانند جداسازهای لاستیکی با هسته‌ی سربی، بیشتر باشد. در جداسازهای مورد استفاده در این طرح، نیروی لازم برای فعال سازی کامل سیستم جداساز بر فرایند طراحی حاکم بوده است.

پس از انجام تحلیل ایستای معادل و طرح روسازه به روش مقاومت نهایی، سازه‌ی به دست آمده تحت تحلیل ایستای غیرخطی با رافزون قرار می‌گیرد. براساس ضوابط موجود در دستورالعمل FEMA ۳۵۶، ابتدا باید سازه تحت اثر بارگذاری‌های قائم ارائه شده در رابطه‌ی ۲ قرار بگیرد، و سپس تحت الگوی بار جانبی مناسب با حاصل ضرب جرم ساختمان در شکل مدد اول آن تا تغییر مکان هدف به دست آمده از رابطه‌ی ۳، واقع در مرکز جرم سیستم جداساز قرارگیرد. سطح عملکرد روسازه در نقطه‌ی هدف مشخص شده، مبنای پذیرش یا رد آن است. در این پژوهش مقاصد و معیارهای پذیرش براساس ضوابط موجود در دستورالعمل FEMA ۳۵۶ به اعضا

رسازه نسبت داده شده است. نقاط تغییر مکان هدف سازه‌های مورد بررسی در جدول ۳ ارائه شده است.

$$Q_{G1} = ۱/۱(D + L_{eff}), \quad Q_{G1} = ۰,۹D \quad (۲)$$

که در آن D بار مرده و L<sub>eff</sub> سربار زنده مؤثر بر سازه است.

$$D'_D = \frac{D_D}{\sqrt{1 + \left(\frac{T_c}{T_D}\right)^2}}, \quad D'_M = \frac{D_M}{\sqrt{1 + \left(\frac{T_c}{T_M}\right)^2}} \quad (۳)$$

در این روابط، D'\_{D,M} و D'\_D نقاط هدف در سطح خطر یک و دو و T<sub>c</sub> زمان تناوب معادل روسازه ثابت مطابق تعاریف ارائه شده در دستورالعمل FEMA ۳۵۶ است. سازه‌هایی به دست آمده از تحلیل ایستای غیرخطی، در مرحله‌ی بعد در برابر تحلیل پویای غیرخطی قرار گرفته و در صورت ارضاع شدن سطح عملکرد مورد نیاز از سازه، مقاطعه به دست آمده در مراحل پیشین اصلاح می‌شود. شایان توجه است که نگاشت‌های معرفی شده با مقایس طبیعی به سازه اعمال شده است. هر سه مؤلفه‌ی متعامد یک زمین لرزه، به صورت همزمان بر سازه اثر داده شده و اثرات

جدول ۴. اعضای روسازه در دو سطح عملکرد در ساختمان ۵ طبقه.

سطح عملکرد				طبقه
LS		IO		
قطعه ستون	قطعه تیر	قطعه ستون	قطعه تیر	طبقه
Box ۲۸×۲۸×۲	IPE ۳۳°	Box ۲۸×۲۸×۲	IPE ۳۶°	۱
Box ۲۸×۲۸×۲	IPE ۲۷°	Box ۲۸×۲۸×۲	IPE ۳۶°	۲
Box ۲۸×۲۸×۲	IPE ۲۷°	Box ۲۸×۲۸×۲	IPE ۳۳°	۳
Box ۲۰×۲۰×۱/۵	IPE ۲۴°	Box ۲۰×۲۰×۱/۵	IPE ۳۰°	۴
Box ۲۰×۲۰×۱/۵	IPE ۲۰°	Box ۲۰×۲۰×۱/۵	IPE ۲۴°	۵

جدول ۵. اعضای روسازه در دو سطح عملکرد در ساختمان ۸ طبقه.

سطح عملکرد				طبقه
LS		IO		
قطعه ستون	قطعه تیر	قطعه ستون	قطعه تیر	طبقه
Box ۳۴×۳۴×۲	IPE ۳۶°	Box ۳۶×۳۶×۲	IPE ۵۰°	۱
Box ۳۴×۳۴×۲	IPE ۳۶°	Box ۳۴×۳۴×۲	IPE ۵۰°	۲
Box ۳۰×۳۰×۲	IPE ۳۶°	Box ۳۰×۳۰×۲	IPE ۴۵°	۳
Box ۳۰×۳۰×۲	IPE ۳۳°	Box ۳۰×۳۰×۲	IPE ۴۰°	۴
Box ۲۵×۲۵×۱/۵	IPE ۳۰°	Box ۲۸×۲۸×۲	IPE ۴۰°	۵
Box ۲۴×۲۴×۱/۵	IPE ۳۰°	Box ۲۸×۲۸×۲	IPE ۳۳°	۶
Box ۲۲×۲۲×۱/۵	IPE ۲۷°	Box ۲۲×۲۲×۱/۵	IPE ۳۰°	۷
Box ۲۰×۲۰×۱/۵	IPE ۲۲°	Box ۲۰×۲۰×۱/۵	IPE ۲۴°	۸

صلب و روسازه‌ی طراحی شده براساس معیارهای اینمی جانی را «روسازه‌ی نرم» می‌نامیم. با توجه به نمودارهای ارائه شده در شکل‌های ۳ و ۴، چرخش خمیری اعضای سازه‌ی بشدت تحت تأثیر دامنه‌های بلند امواج سرعت و تغییر مکان نگاشت زمین لرزه بوده است، به‌گونه‌ی که مؤلفه‌های دارای شتاب بیشینه‌ی کم تو و دامنه‌های سرعت و جابه‌جاوی بالاتر، موجب ایجاد خسارت و پیشروی بیشتر سازه در ناحیه‌ی خمیری شده است که از نمونه‌های آن می‌توان به تفاوت پاسخ غیرخطی روسازه به دو مؤلفه‌ی زمین لرزه‌ی نوربریج (۱۹۹۴) و Imperial Valley (۱۹۷۹) اشاره کرد. در هر دوی این زمین لرزه‌ها، پاسخ به دست آمده از روسازه در برابر مؤلفه‌ی دارای شتاب بیشینه‌ی کم تو، بحرانی‌تر بوده است. همچنین رفتار هر دو سازه در برابر زمین لرزه‌ی Imperial Valley (۱۹۷۹) تاحدود زیادی تحت تأثیر چرخش‌های خمیری اعضا در ناحیه‌ی اینمی جانی است که علت آن وجود بیشینه دامنه‌ی سرعت  $s = 90,5 \text{ cm/s}$  و بیشینه دامنه‌ی تغییر مکان  $63 \text{ cm}$  در نگاشت مربوط به مؤلفه‌ی جهت  $\gamma$  زمین لرزه است. نزدیکی این اعداد به دلیل وجود تأثیرات پدیده‌هایی همچون جهت‌پذیری در نگاشت برجای مانده از زلزله،<sup>[۶,۵]</sup> به مقادیر نظری در زمین لرزه‌های انتخابی در سطح خطر دو، باعث ایجاد شباهت رفتاری سازه در برابر این زمین لرزه، به عملکرد در

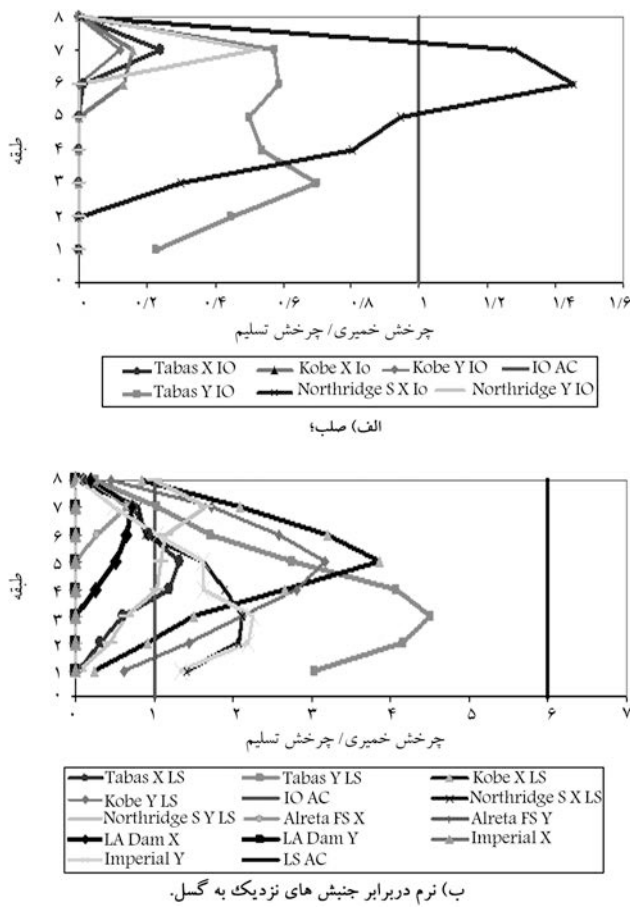
$P - \Delta - p$  در فرایند تحلیل در نظر گرفته شده است. جداول ۴ و ۵ مقاطعه نهایی به دست آمده در هر سطح عملکرد را برای دو سازه ۵ و ۸ طبقه نشان می‌دهد. همچنین منحنی ظرفیت هر دو سازه، در دو سطح عملکرد متعارف و کاهش یافته به جهت مقابله‌ی میزان شکل‌پذیری و ظرفیت باربری آن، در شکل ۲ نشان داده شده است. مطابق انتظار، افت سطح عملکرد ساختمان موجب کاهش شدید ظرفیت باربری می‌شود و در مقابل، شکل‌پذیری آن افزایش خواهد یافت.

## ۶. ارزیابی پاسخ‌های دینامیکی سازه در سطوح خطر

### پک و دو

#### ۶.۱. بیشینه چرخش خمیری اعضا

بررسی مقاصل ایجادشده در هر دو گروه سازه‌های طراحی شده در حالت استفاده‌ی بی‌وقفه و اینمی جانی، تفاوت رفتار سازه در دو امتداد  $x$  و  $y$  را که به ترتیب در برابر مؤلفه‌های افقی زمین لرزه قرار گرفته است، نمایان می‌سازد. از این پس به طور قراردادی، روسازه‌ی طراحی شده برای سطح عملکرد بی‌وقفه، روسازه‌ی خطر دو، باعث ایجاد شباهت رفتاری سازه در برابر این زمین لرزه، به عملکرد در

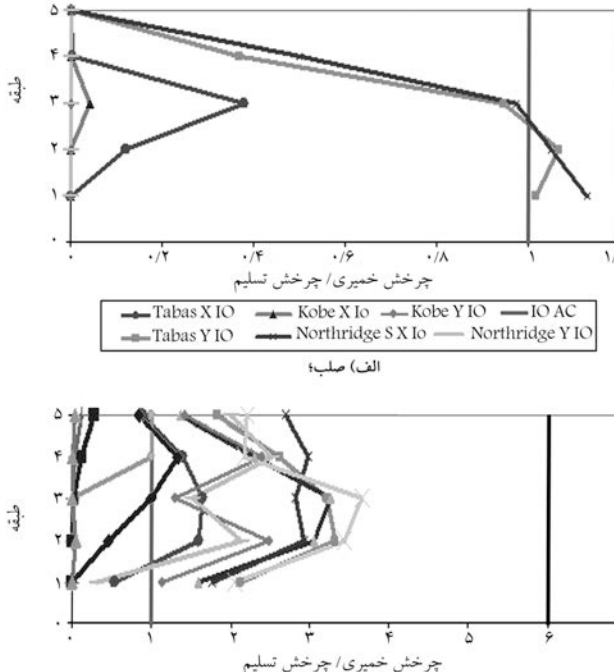
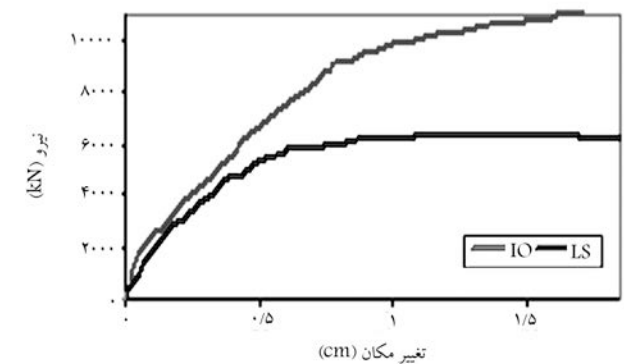
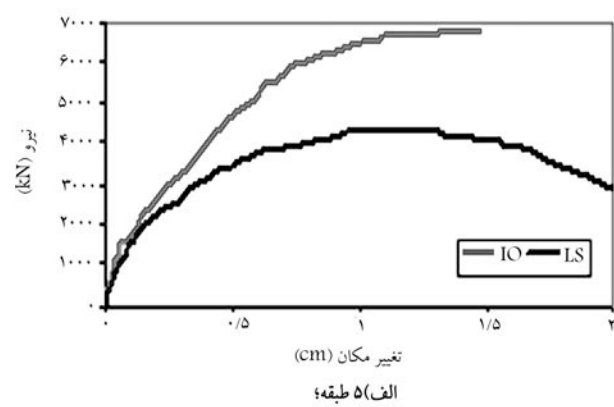


شکل ۴. بیشینه چرخش خمیری تیرها در سازه‌ی ۸ طبقه.

سطح خطر دو شده است. رفتار سازه در زلزله‌ی Imperial Valley (۱۹۷۹)، به خوبی نشان می‌دهد که مقدار شتاب بیشینه‌ی نگاشت نمی‌تواند معیار مناسبی برای طراحی سازه‌های مقاوم، به ویژه در حوزه‌ی نزدیک به گسل باشد. زیرا رفتار سازه در این مناطق به شدت تحت تأثیر موج‌های پانزده‌سی سرعت و جابه‌جایی است. بنابراین با پذیرش عملکرد مشابه سازه در برابر زمین‌لرزه‌ی Imperial Valley (۱۹۷۹) با زمین‌لرزه‌های سطح خطر دو و با در نظر گرفتن معیارهای پذیرش مشخص شده در نمودارهای چرخش اعضا، پاسخ سازه در هر دو حالت صلب و نرم قابل پذیرش است. از دیدگاه کلی، رفتار سازه در برابر زلزله‌های حوزه‌ی نزدیک سطح خطریک، در حدود استفاده‌ی بی‌وقفه بوده مگر در مواردی که شدت دامنه‌های سرعت و تغییر مکان نگاشت، نزدیک به مقادیر نظیر در زمین‌لرزه‌های حوزه‌ی نزدیک سطح خطر دو باشد که در این موارد نیز سطح عملکرد سازه در حد اینمی‌جانی خواهد بود. یادآور می‌شود اندک چرخش خمیری ایجاد شده بیش از مرز پذیرش استفاده‌ی بی‌وقفه در روسازه‌ی صلب قبل چشم‌پوشی است.

## ۲.۶. برش پایه

نتایج مربوط به مقایسه بیشینه برش پایه در تحلیل دینامیکی غیرخطی، برای روسازه صلب و نرم و برای هر دو ساختمان ۵ و ۸ طبقه، در جداول ۶ و ۷ خلاصه شده است. همان‌گونه که انتظار می‌رود، با نرم تر شدن روسازه و ورود به ناحیه‌ی غیرخطی، از میزان برش پایه منتقل شده به آن کاسته می‌شود.



شکل ۴. بیشینه چرخش خمیری تیرها در سازه‌ی ۸ طبقه.

جدول ۶. برش پایه (کیلو نیوتن) در ساختمان ۵ طبقه در دو حالت روسازه‌ی صلب و انعطاف‌پذیر.

برش پایه (kN)				زلزله	
سطح عملکرد		IO			
LS	X	Y	X		
۳۲۵۰	۴۹۹۰	۳۳۴۶	۶۶۸۸	Northridge ۱۹۹۴	
۳۵۹۷	۳۷۲۰	۳۷۸۴	۴۳۵۷	Kobe ۱۹۹۵	
۴۸۲۳	۳۴۰۱	۷۰۵۷	۴۶۰۲	tabas ۱۹۷۹	

جدول ۷. برش پایه (کیلو نیوتن) در ساختمان ۸ طبقه در دو حالت روسازه‌ی صلب و انعطاف‌پذیر.

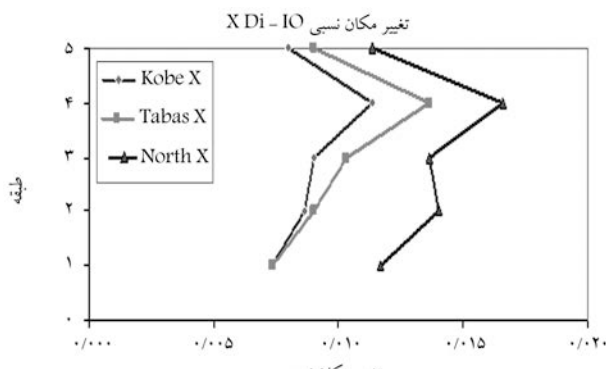
برش پایه (kN)				زلزله	
سطح عملکرد		IO			
LS	X	Y	X		
۵۰۹۲	۷۵۶۲	۵۲۱۶	۱۰۶۳۲	Northridge ۱۹۹۴	
۵۳۷۱	۵۷۶۰	۶۰۰۷	۶۳۶۵	Kobe ۱۹۹۵	
۸۹۱۸	۵۷۴۸	۱۱۸۱۵	۶۶۷۹	tabas ۱۹۷۹	

### ۳.۶. بیشینه‌ی تغییر مکان نسبی طبقات

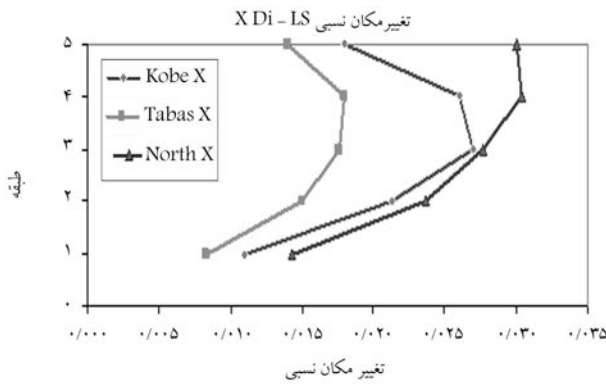
در شکل‌های ۵ تا ۸، بیشینه‌ی نسبت تغییر مکان نسبی طبقات در طول زمین‌لرزه به ترتیب برای حالات سطح عملکرد استفاده‌ی بی‌وقفه و اینمی‌جانی نشان داده شده است. چنان‌که مشاهده می‌شود، در حالت اینمی‌جانی و پیشروی چشم‌گیر سازه در ناحیه‌ی خمیری، تغییر مکان نسبی طبقات نسبت به حالت استفاده‌ی بی‌وقفه به شدت افزایش یافته است. با این حال، با توجه به محدودیت چرخش خمیری اعضاء، تغییر مکان‌های نسبی به دست آمده برای سازه‌ی با کاربری متعارف، کاملاً قابل پذیرش است. همچنین، اختلاف رفتار سازه در دو راستای x و y به دلیل اختلاف در میزان انرژی نگاشت در دو جهت، بر روی این تصاویر به روشنی نمایان است.

### ۷. مقایسه‌ی وزن روسازه در دو حالت سطح عملکرد استفاده‌ی بی‌وقفه و اینمی‌جانی

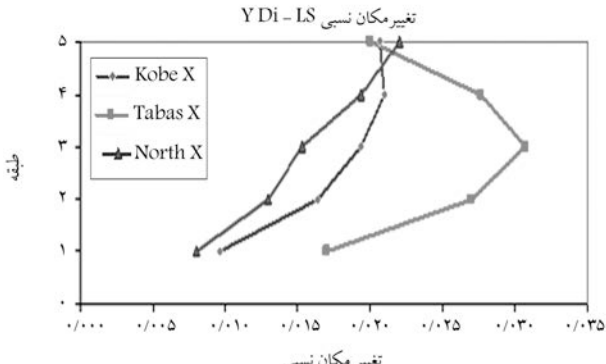
مقدار وزن اسکلت روسازه برای هر دو ساختمان و در هر سطح عملکرد، در جدول ۸ ارائه شده است. چنان‌که از نتایج برمرآید، با افزایش تعداد طبقات سازه، درصد کاهش فولاد مصرفی از سطح عملکرد استفاده‌ی بی‌وقفه به اینمی‌جانی افزایش یافته است. ارقام به دست آمده نشان می‌دهند بهره‌گیری هم‌زمان از فن جداسازی از پایه در راستای کاهش نیاز لرزه‌ی بر روی سازه، و استفاده از مفاہیم طراحی براساس عملکرد و ظرفیت خمیری اعضای روسازه، به طرح سازه‌های اقتصادی برای تأمین اینمی‌جانی ساکنین آن می‌انجامد.



شکل ۵. بیشینه‌ی نسبت تغییر مکان درون طبقه‌ی در ساختمان ۵ طبقه‌ی صلب، در راستای x و y.



شکل ۶. بیشینه‌ی نسبت تغییر مکان درون طبقه‌ی در ساختمان ۵ طبقه‌ی نرم، در راستای x و y.



شکل ۷. بیشینه‌ی نسبت تغییر مکان درون طبقه‌ی در ساختمان ۸ طبقه در دو حالت روسازه‌ی صلب و انعطاف‌پذیر.

جدول ۸. کاهش میزان فولاد مصرفی در دو طرح سطح عملکرد استفاده‌ی بی وقفه و اینمنی جانی.

کاهش	وزن روسازه (تن)		سازه
	LS	IO	
۱۳	۱۲۴,۱	۱۴۲,۶	۵ طبقه
۲۰	۲۳۴,۶	۲۹۱,۹	۸ طبقه

## ۸. نتیجه‌گیری

در این پژوهش، دو سازه‌ی ۵ و ۸ طبقه‌ی جداسازی شده برای عملکرد در دو سطح استفاده‌ی بی وقفه (سازه‌ی با اهمیت بالا) و اینمنی جانی (سازه‌ی با اهمیت متوسط) در برابر زمین‌لرزه‌های شدید حوزه‌ی نزدیک، متناسب با سطح خطر دو طراحی شد، که نتایج حاصل از تحلیل در ادامه خلاصه می‌شود. همچنین یادآور می‌شود که نتایج به دست آمده در این پژوهش محدود به سازه‌های جداسازی شده‌ی کوتاه مرتبه و میان مرتبه بوده و ارائه نظرات کلی‌تر در گروه انجام پژوهش‌های تکمیلی است.

۱. رفتار سازه در هر دو سطح عملکرد، بهشدت وابسته به میزان انرژی زلزله و ورودی است، بهگونه‌یی که با اندک اختلاف در میزان بیشینه دامنه موج سرعت و تغییر مکان نگاشته‌های حوزه‌ی نزدیک، میزان پیشرفت سازه در ناحیه‌ی خمیری، دستخوش تغییراتی چشمگیر می‌شود.

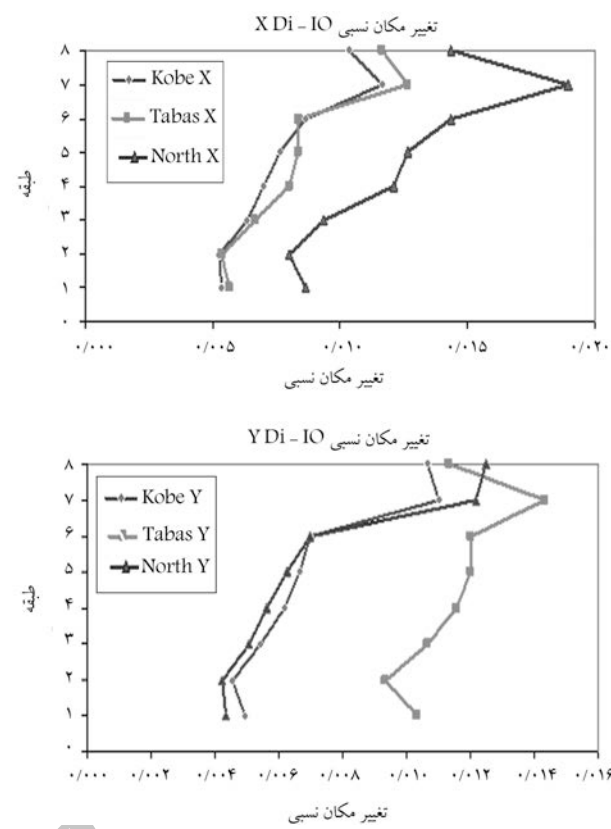
۲. بررسی‌های انجام شده نشان می‌دهد که شتاب بیشینه‌ی نگاشت زمین‌لرزه، نمی‌تواند معیار مناسبی برای تخمین میزان انرژی ورودی به پیکره‌ی سازه باشد و برای گریش زلزله‌های طراحی در حوزه‌ی نزدیک به گسل، استفاده از مقادیر سرعت و تغییر مکان جایگزین مناسب‌تری است.

۳. با کاهش سطح عملکرد مورد انتظار از روسازه، از حالت استفاده‌ی بی وقفه به اینمنی جانی، و امکان پیش‌روی تغییر شکل اعضای سازه‌ی در ناحیه‌ی خمیری، برش پایه‌ی ساختمان کاهش می‌یابد. بنابراین با وجود ترمی در روسازه، کارکرد جداسازه‌ها در کاهش برش پایه همچنان موفقیت‌آمیز بوده است.

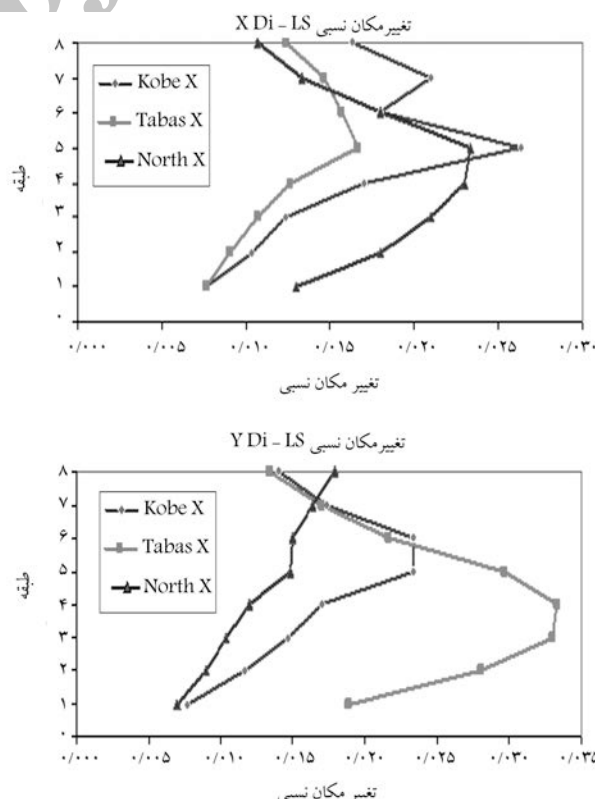
۴. تغییر مکان‌های بین طبقه‌ی در سازه‌ی با سطح عملکرد اینمنی جانی، نسبت به حالت استفاده‌ی بی وقفه افزایش یافته است، که طبق تعاریف موجود برای سطح عملکرد اینمنی جانی، امری پذیرفته شده است.

۵. بررسی رفتار روسازه‌ی نرم در برابر زمین‌لرزه‌ای حوزه‌ی نزدیک، در محدوده سطح خطریک، نشان‌گر عملکرد سازه در حدود استفاده‌ی بی وقفه است. در این حالت، در صورتی که در نگاشته‌های سرعت و تغییر مکان زمین‌لرزه دامنه‌های شدید وجود داشته باشد، رفتار روسازه در محدوده اینمنی جانی قرار خواهد گرفت که نمونه‌ی آن در زمین‌لرزه‌ی Imperial Valley (۱۹۷۹) با مقادیر  $PGD = 63 \text{ cm}$ ,  $PGV = 90.5 \text{ cm/s}$ ,  $PGA = 0.38 \text{ g}$  دیده شد.

۶. ارقام به دست آمده از میزان کاهش فولاد مصرفی در روسازه در دو حالت استفاده‌ی بی وقفه و اینمنی جانی، با افزایش ارتفاع ساختمان روندی صعودی داشته است، بهگونه‌یی که در ساختمان ۵ طبقه شاهد  $13\%$  کاهش و در ساختمان ۸ طبقه شاهد  $20\%$  کاهش هستیم. این مقادیر با توجه به کارکرد مناسب جداسازها با وجود تسليیم اعضا و رفتار در فاز خمیری، استفاده‌ی هم‌زمان از فن جداسازی از پایه و روش‌های طراحی براساس عملکرد را در ارائه یک طرح اقتصادی و حافظ اینمنی جانی کاربران آن، خردمندانه و توجیه پذیر می‌کند.



شکل ۷. بیشینه نسبت تغییر مکان درون‌طبقه‌ی در سازه‌ی ۸ طبقه‌ی صلب، در راستای x و y.



شکل ۸. بیشینه نسبت تغییر مکان درون‌طبقه‌ی در سازه‌ی ۸ طبقه‌ی نرم، در راستای x و y.

## پانوشت

1. elastic capacity
2. lead rubber bearing

## منابع

1. Federal Emergency Management Agency, *Commentary on the National Earthquake Hazard Reduction Program Guidelines for Seismic Rehabilitation of Buildings*, FEMA 356, Washington, DC (2000).
2. ANSI/AISC 360-05, *Specification for Structural Steel Buildings*, American Institute of Steel Construction, inc., Chicago, Illinois 60601-1802 (2005).
3. ASCE/SEI 7-05, *Minimum Design Loads for Buildings and Other Structures*, American Society of Civil Engineering, 1801 Alexander Bell Drive, Reston, Virginia 20191 (2006).
4. Naeim, F. and Kelly, J.M., *Design of Seismic Isolated Structure, from Theory to Practice*, Wiley, Chichester, U.K. (1999).
5. Bozorgnia, Y. and Bertero, V.V. "Earthquake engineering from engineering seismology to performance-based engineering", CRC PRESS LLC, 2000 N.W. Corporate Blvd., Boca Raton, Florida 33431 (2004).
6. Tehranizadeh, M. and Meshkatodini, A., *Seismic Behavior Assessment of Tall Buildings Under Near-Fault Ground Motions*, PhD Thesis, Amirkabir University of Technology, Tehran, Iran (2005).